

# Паразитные волны в разностных схемах и метод их приближенного анализа

Л.В. Дородницын

Московский государственный университет имени М.В. Ломоносова

XVI Всероссийская конференция-школа молодых исследователей  
«Современные проблемы математического моделирования»



# Мотивация

- Схемные осцилляции необходимо изучать, прежде чем их подавлять.
- Анализ решений разностных задач довольно труден. Более традиционный объект — дифференциальные уравнения математической физики.
- Метод дифференциального приближения — один из доступных способов приближенного анализа схем.
- Ранее известные варианты метода непригодны для анализа частых осцилляций. Предлагается новая модификация.

Речь будет идти только об осцилляциях по пространству и о **пилообразных** решениях — вида  $u(x_j) = (-1)^j v(x_j)$ .

# Содержание

- 1 Введение
  - Осцилляции в разностных схемах
  - Метод дифференциального приближения
- 2 Дифференциальное приближение осциллирующих схем
  - Приближение разностных уравнений и граничных условий
  - Спектральные задачи
- 3 Обобщения
- 4 Нелинейные разностные задачи
- 5 Выводы

# Схема с центральными разностями для уравнения переноса

$$\partial u / \partial t + \partial u / \partial x = 0 \quad \mapsto \quad du_j / dt + (u_{j+1} - u_{j-1}) / (2h) = 0$$

( $d/dt \mapsto$  схема Кранка–Николсон)

Гармоническое решение содержит «физическую» моду и паразитную пилообразную осцилляцию:

$$u(x_j, t) = a_1 \exp\{i\omega t - ikx_j\} + a_2 (-1)^j \exp\{i\omega t + ikx_j\},$$

$$k = k(\omega, h) = \arcsin(\omega h) / h = \omega + h^2 \omega^3 / 6 + O(h^4).$$

ПЕРЕНОС ГАУССИАНА

# Метод дифференциального приближения

- Ю.И. Шокин, Н.Н. Яценко. Метод дифференциального приближения. Применение к газовой динамике. – Новосибирск: Наука, 1985.

Схема с направленными разностями для уравнения переноса  
$$du_j/dt + (u_j - u_{j-1})/h = 0.$$

Дифференциальное приближение: 
$$\frac{\partial u}{\partial t} + \frac{\partial u}{\partial x} - \frac{h}{2} \frac{\partial^2 u}{\partial x^2} = O(h^2).$$

Вместо переноса — уравнение конвекции-диффузии.

# Метод дифференциального приближения

- Ю.И. Шокин, Н.Н. Яценко. Метод дифференциального приближения. Применение к газовой динамике. – Новосибирск: Наука, 1985.

Схема с направленными разностями для уравнения переноса  
$$du_j/dt + (u_j - u_{j-1})/h = 0.$$

Дифференциальное приближение: 
$$\frac{\partial u}{\partial t} + \frac{\partial u}{\partial x} - \frac{h}{2} \frac{\partial^2 u}{\partial x^2} = O(h^2).$$

Вместо переноса — уравнение конвекции-диффузии.

## Проблемы

1. Требование плавности: 
$$\frac{h}{\|u\|} \frac{du}{dx} \rightarrow 0, h \rightarrow 0.$$
2. Дифференциальный порядок может не совпадать с разностным.
3. Краевая задача: вопрос о количестве граничных условий.

# Схема с центральными разностями для уравнения переноса

$$du_j/dt + (u_{j+1} - u_{j-1})/(2h) = 0$$

1-е дифференциальное приближение:  $\frac{\partial u}{\partial t} + \frac{\partial u}{\partial x} = O(h^2)$ .

Осциллирующее решение не обнаруживается.

2-е дифференц. приближение:  $\frac{\partial u}{\partial t} + \frac{\partial u}{\partial x} + \frac{h^2}{6} \frac{\partial^3 u}{\partial x^3} = O(h^4)$ .

Решение в виде гармоники  $u = \exp\{i\omega t - ikx\}$  :

$$k_1(\omega) \approx \omega + \frac{h^2}{6}\omega^3, \quad k_2(\omega) \approx \frac{\sqrt{6}}{h} - \omega, \quad k_3(\omega) \approx -\frac{\sqrt{6}}{h} - \omega.$$

# Пример: уравнение переноса и центрально-разностная схема для него

**Дифференциальная задача Штурма–Лиувилля.**

$$\begin{cases} du/dx + \lambda u = 0, & 0 < x < L, \\ u(0) = 0. \end{cases}$$

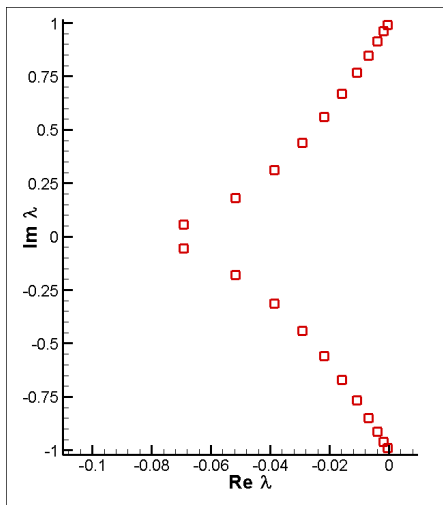
Собственные значения и функции не существуют:

$$u(x) = u(0) \exp\{-\lambda x\} \equiv 0.$$

**Разностная задача.**

Добавляется правое краевое условие:

$$\begin{cases} (u_{j+1} - u_{j-1})/(2h) + \lambda u_j = 0, \\ u_0 = 0, \quad (u_N - u_{N-1})/h = 0. \end{cases}$$





# Дифференциальное приближение осциллирующих схем

- Л.В. Дородницын. Искусственные граничные условия при численном моделировании дозвуковых течений газа // ЖВМ и МФ, 2005, т.45, № 7, с.1251-1278.

Математический инструмент: гипотеза о фоне и «пиле»

$$u(x_j, t) = \bar{u}(x_j, t) + (-1)^j a(x_j, t), \quad (*)$$

$\bar{u}(x, t)$ ,  $a(x, t)$  — гладкие функции.

Применимость: 
$$\frac{h}{\|\bar{u}\|} \frac{d\bar{u}}{dx} \rightarrow 0, \quad \frac{h}{\|a\|} \frac{da}{dx} \rightarrow 0, \quad h \rightarrow 0. \quad (**)$$

Схема для уравнения переноса 
$$\frac{du_j}{dt} + \frac{u_{j+1} - u_{j-1}}{2h} = 0. \quad (1)$$

Подстановка (\*) в (1):

$$\frac{d\bar{u}_j}{dt} + \frac{\bar{u}_{j+1} - \bar{u}_{j-1}}{2h} + (-1)^j \left( \frac{da_j}{dt} - \frac{a_{j+1} - a_{j-1}}{2h} \right) = 0.$$

С учетом (\*\*),

$$\frac{\partial \bar{u}}{\partial t} + \frac{\partial \bar{u}}{\partial x} + \frac{h^2}{6} \frac{\partial^3 \bar{u}}{\partial x^3} = O(h^4), \quad \frac{\partial a}{\partial t} - \frac{\partial a}{\partial x} = O(h^2).$$

# ЦР схема для уравнения переноса: начально-краевая задача

Краевые условия 1-го рода:

$$\begin{cases} du_j/dt + (u_{j+1} - u_{j-1})/(2h) = 0, & j = 1, 2, \dots, N-1 \\ u_0 = u_N = 0, \\ u(x, 0) = \varphi(x), & 0 < x < L \end{cases}$$

Дифференциальное приближение:

$$\begin{cases} \frac{\partial \bar{u}}{\partial t} + \frac{\partial \bar{u}}{\partial x} = 0, & \frac{\partial a}{\partial t} - \frac{\partial a}{\partial x} = 0, & 0 < x < L, \\ \bar{u}(0, t) + a(0, t) = 0, & \bar{u}(L, t) + (-1)^N a(L, t) = 0, \\ \bar{u}(x, 0) = \varphi(x), & a(x, 0) = 0. \end{cases}$$

Решение:  $u(x_j, t) = \bar{u}(x_j, t) + (-1)^j a(x_j, t)$ ,

I.  $\bar{u}(x, t) = \varphi(x - t), \quad a(x, t) \equiv 0.$

II.  $a(L, t) = (-1)^{N+1} \varphi(L - t), \quad a(x, t) = (-1)^{N+1} \varphi(2L - x - t), \quad \bar{u} \equiv 0.$

III.  $\bar{u}(0, t) = (-1)^N \varphi(2L - t), \quad \bar{u}(x, t) = (-1)^N \varphi(2L + x - t), \quad a \equiv 0.$

...

## Компактная трехточечная схема

- А.И. Толстых. Компактные разностные схемы и их применение в задачах аэрогидродинамики. – М.: Наука, 1990.

Компактная трехточечная центрально-разностная схема  $O(h^4)$  для уравнения переноса

$$\frac{d}{dt} \left[ \frac{1}{6}u_{j-1} + \frac{2}{3}u_j + \frac{1}{6}u_{j+1} \right] + \frac{u_{j+1} - u_{j-1}}{2h} = 0.$$

Дифференциальное приближение:

$$\frac{\partial \bar{u}}{\partial t} + \frac{\partial \bar{u}}{\partial x} = O(h^4), \quad \frac{\partial a}{\partial t} - 3 \frac{\partial a}{\partial x} = O(h^2).$$

Пилообразная мода движется втрое быстрее, чем в обычной схеме с центральными разностями.

# ЦР схема для уравнения переноса: задачи на собственные значения

## Краевые условия 1-го рода.

$$\begin{cases} (u_{j+1} - u_{j-1})/(2h) + \lambda u_j = 0, & j = 1, 2, \dots, N-1 \\ u_0 = u_N = 0. \end{cases}$$

$u(x_j) = \bar{u}(x_j) + (-1)^j a(x_j)$ . Дифференциальное приближение:

$$\begin{cases} d\bar{u}/dx + \lambda \bar{u} = 0, & da/dx - \lambda a = 0, & 0 < x < L, \\ \bar{u}(0) + a(0) = 0, & \bar{u}(L) + (-1)^N a(L) = 0 \end{cases}$$

Решение:  $\lambda = \lambda_k = i\omega_k$ ,  $u_k(x_j) = \exp\{-i\omega_k x_j\} - (-1)^j \exp\{i\omega_k x_j\}$ ,

$$\omega_k = \begin{cases} \frac{\pi k}{L}, & N - \text{четное}, \\ \frac{\pi + 2\pi k}{2L}, & N - \text{нечетное}, \end{cases} \quad k \in \mathbb{Z}$$

Точное решение разностной задачи:

$$\lambda_k = \frac{i}{h} \sin(\omega_k h), \quad u_k(x_j) = \exp\{-i\omega_k x_j\} - (-1)^j \exp\{i\omega_k x_j\},$$

$$\begin{cases} k = 0, \pm 1, \pm 2, \dots, \pm(M-1), & N = 2M, \\ k = -M, \dots, -1, 0, 1, \dots, M-1, & N = 2M+1. \end{cases}$$

Условие 1-го рода слева, 2-го рода справа.

$$\begin{cases} (u_{j+1} - u_{j-1})/(2h) + \lambda u_j = 0, & j = 1, 2, \dots, N-1, \\ u_0 = 0, & (u_N - u_{N-1})/h = 0. \end{cases}$$

$$u(x_j) = \bar{u}(x_j) + (-1)^j a(x_j).$$

$$\begin{cases} d\bar{u}/dx + \lambda\bar{u} = 0, & da/dx - \lambda a = 0, & 0 < x < L, \\ \bar{u}(0) + a(0) = 0, & \left( \frac{d\bar{u}}{dx} + (-1)^N \frac{2a}{h} \right)_{x=L} = 0 \end{cases}$$

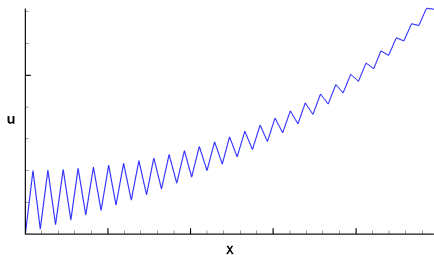
Решение:  $\bar{u}(x) = e^{-\lambda x}$ ,  $a(x) = -e^{\lambda x}$ ,  $\lambda h = 2(-1)^{N-1} e^{2\lambda L}$ .

Частный случай  $\lambda \in \mathbb{R}$ .

Тогда  $(-1)^N = 1$ ,  $\lambda < 0$ .

$$h(\lambda) = \frac{2}{|\lambda|} \exp\{-2|\lambda|L\}.$$

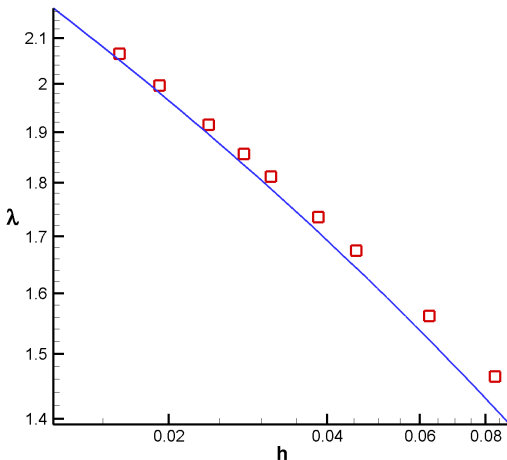
$$u(x_j) = \exp\{|\lambda|x_j\} - (-1)^j \exp\{-|\lambda|x_j\}.$$



*Сравнение дифференциального и разностного спектров.*

$$h(\lambda) = \frac{2}{|\lambda|} \exp\{-2|\lambda|L\}$$

vs. вычисленные значения  $|\lambda(h)|$  при различных  $N$  и  $L = 1$ .



Условие 1-го рода слева, неотражающее условие  $O(h)$  справа.

$$\begin{cases} (u_{j+1} - u_{j-1})/(2h) + \lambda u_j = 0, & j = 1, 2, \dots, N-1, \\ u_0 = 0, & (u_N - u_{N-1})/h + \lambda u_N = 0. \end{cases}$$

Дифференциальное приближение:

$$\begin{cases} d\bar{u}/dx + \lambda\bar{u} = 0, & da/dx - \lambda a = 0, & 0 < x < L, \\ \bar{u}(0) + a(0) = 0, & \left( -\frac{h}{2} \frac{d^2\bar{u}}{dx^2} + (-1)^N \frac{2a}{h} \right)_{x=L} = 0. \end{cases}$$

Решение:  $\bar{u}(x) = e^{-\lambda x}$ ,  $a(x) = -e^{\lambda x}$ ,  $\lambda^2 h^2 = 4(-1)^{N-1} e^{2\lambda L}$ .

Частный случай  $\lambda \in \mathbb{R}$ . Тогда  $(-1)^N = -1$ ,  $\lambda < 0$ .

$$h(\lambda) = \frac{2}{|\lambda|} \exp\{-|\lambda|L\}.$$

Условие 1-го рода слева, неотражающее условие  $O(h^2)$  справа.

$$\begin{cases} (u_{j+1} - u_{j-1})/(2h) + \lambda u_j = 0, & j = 1, 2, \dots, N-1, \\ u_0 = 0, & (3u_N - 4u_{N-1} + u_{N-2})/(2h) + \lambda u_N = 0. \end{cases}$$

Дифференциальное приближение:

$$\begin{cases} d\bar{u}/dx + \lambda\bar{u} = 0, & da/dx - \lambda a = 0, & 0 < x < L, \\ \bar{u}(0) + a(0) = 0, & \left( -\frac{h^2}{2} \frac{d^3\bar{u}}{dx^3} + (-1)^N \frac{4a}{h} \right)_{x=L} = 0. \end{cases}$$

Решение:  $\bar{u}(x) = e^{-\lambda x}$ ,  $a(x) = -e^{\lambda x}$ ,  $\lambda^3 h^3 = 8(-1)^{N-1} e^{2\lambda L}$ .

Частный случай  $\lambda \in \mathbb{R}$ . Тогда  $(-1)^N = -1$ ,  $\lambda < 0$ .

$$h(\lambda) = \frac{2}{|\lambda|} \exp \left\{ -\frac{2}{3} |\lambda| L \right\}.$$



## Закономерность.

$$u(x_j) = \exp\{|\lambda|x_j\} - (-1)^j \exp\{-|\lambda|x_j\}.$$

Условие Неймана:  $h(\lambda) = \frac{2}{|\lambda|} \exp\{-2|\lambda|L\}.$

Неотражающее условие  $O(h)$ :  $h(\lambda) = \frac{2}{|\lambda|} \exp\{-|\lambda|L\}.$

Неотражающее условие  $O(h^2)$ :  $h(\lambda) = \frac{2}{|\lambda|} \exp\left\{-\frac{2}{3}|\lambda|L\right\}.$

Чем лучше аппроксимация правого краевого условия, тем больше  $|\lambda|$ . У правой границы амплитуда осцилляции понижается, зато отклонение  $u$  от нуля увеличивается.

## Закономерность.

$$u(x_j) = \exp\{|\lambda|x_j\} - (-1)^j \exp\{-|\lambda|x_j\}.$$

Условие Неймана:  $h(\lambda) = \frac{2}{|\lambda|} \exp\{-2|\lambda|L\}.$

Неотражающее условие  $O(h)$ :  $h(\lambda) = \frac{2}{|\lambda|} \exp\{-|\lambda|L\}.$

Неотражающее условие  $O(h^2)$ :  $h(\lambda) = \frac{2}{|\lambda|} \exp\left\{-\frac{2}{3}|\lambda|L\right\}.$

Чем лучше аппроксимация правого краевого условия, тем больше  $|\lambda|$ . У правой границы амплитуда осцилляции понижается, зато отклонение  $u$  от нуля увеличивается.

! Есть возможность (и необходимость) изменить аппроксимацию левого краевого условия  $u(0) = 0$ .

# Обобщения

## 1. Схемы с переменными коэффициентами.

Коэффициенты дифференциальной задачи должны быть медленно меняющимися функциями.

**2. Неравномерные сетки** с постепенным изменением шага (*квазиравномерные*) трактуются аналогично: шаг сетки вводится как непрерывная функция пространства  $h(x)$ .

## 3. Системы уравнений.

Решение разлагается по векторным функциям:

$$\mathbf{U} \equiv (u^1, u^2, \dots, u^m) = \bar{\mathbf{U}}(x_j, t) + (-1)^j \mathbf{A}(x_j, t).$$

## Обобщения (II)

## 4. Пространственно-многомерные задачи. Прямоугольные сетки.

Центрально-разностная схема для 2D уравнения переноса

$$\frac{\partial u}{\partial t} + c_1 \frac{\partial u}{\partial x} + c_2 \frac{\partial u}{\partial y} = 0 \quad \mapsto$$

$$\mapsto \frac{du_{jk}}{dt} + c_1 \frac{u_{j+1,k} - u_{j-1,k}}{2\Delta x} + c_2 \frac{u_{j,k+1} - u_{j,k-1}}{2\Delta y} = 0$$

приводится к разложению по функциям четырех видов

$$u(x_j, y_k, t) = \bar{u}(x_j, y_k, t) + (-1)^j a_1(x_j, y_k, t) + (-1)^k a_2(x_j, y_k, t) + (-1)^{j+k} a_{12}(x_j, y_k, t)$$

и к задаче для системы из четырех уравнений в ч.п.

$$\begin{aligned} \frac{\partial \bar{u}}{\partial t} + c_1 \frac{\partial \bar{u}}{\partial x} + c_2 \frac{\partial \bar{u}}{\partial y} &= 0, & \frac{\partial a_1}{\partial t} - c_1 \frac{\partial a_1}{\partial x} + c_2 \frac{\partial a_1}{\partial y} &= 0, \\ \frac{\partial a_2}{\partial t} + c_1 \frac{\partial a_2}{\partial x} - c_2 \frac{\partial a_2}{\partial y} &= 0, & \frac{\partial a_{12}}{\partial t} - c_1 \frac{\partial a_{12}}{\partial x} - c_2 \frac{\partial a_{12}}{\partial y} &= 0. \end{aligned}$$

# Нелинейные разностные уравнения

Л.В. Дородницын (2005)

$$u(x_j, t) = \bar{u}(x_j, t) + (-1)^j a(x_j, t),$$

$$\frac{h}{\|\bar{u}\|} \frac{d\bar{u}}{dx} \rightarrow 0, \quad \frac{h}{\|a\|} \frac{da}{dx} \rightarrow 0, \quad h \rightarrow 0.$$

Дополнительная гипотеза о малости амплитуды осцилляции

$$|a| \ll |\bar{u}|,$$

**Квазилинейное уравнение переноса**

$$\frac{\partial u}{\partial t} + \frac{1}{2} \frac{\partial}{\partial x} (u^2) = 0.$$

Схема: 
$$\frac{du_j}{dt} + \frac{1}{2} \frac{u_{j+1}^2 - u_{j-1}^2}{2h} = 0.$$

Дифференциальное приближение:

$$\frac{\partial \bar{u}}{\partial t} + \frac{1}{2} \frac{\partial}{\partial x} (\bar{u}^2) + \frac{h^2}{12} \frac{\partial^3}{\partial x^3} (\bar{u}^2) = O(h^4 + a^2),$$

$$\frac{\partial a}{\partial t} - a \frac{\partial \bar{u}}{\partial x} - \bar{u} \frac{\partial a}{\partial x} = O(h^4 + a^2).$$

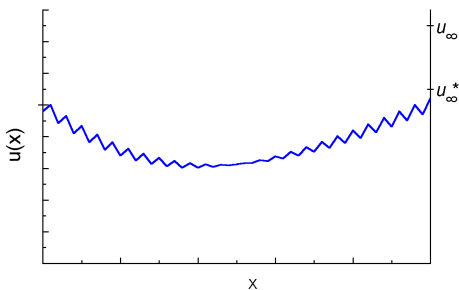
# Анализ граничного условия

## Эффект «неправильной асимптотики».

Правое граничное условие — релаксация:  $\partial u / \partial x = \beta (u_\infty - u)$ .

Аппроксимация направленной разностью

$$\frac{u_N - u_{N-1}}{h} = \beta (u_\infty - u_N) \quad \text{дает} \quad \frac{\partial \bar{u}}{\partial x} = \beta (u_\infty^* - \bar{u}),$$

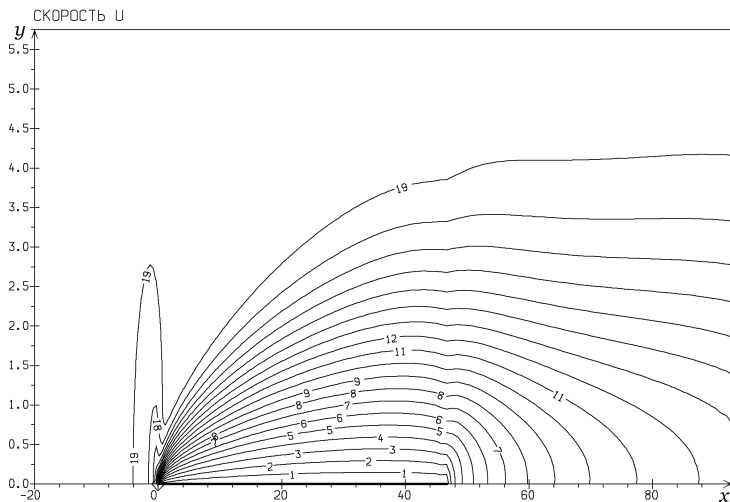


$$u_\infty^* = u_\infty - (-1)^N \frac{2a}{\beta h}.$$

Другой вариант правого гр. условия  $\frac{u_N - u_{N-2}}{2h} = \beta (u_\infty - u_N)$ .

# Пример практического использования

## Вязкое обтекание пластины при числе Маха $M = 0.01$



# Выводы

- Всякий метод дифференциального приближения не является математически строгим.
- Разновидность метода, работающая с пилообразными функциями, успешно проходит ряд вычислительных тестов.
- Аналитические решения, не известные в дискретном случае, позволяют судить о свойствах численного решения, в том числе обнаруживать неустойчивости.
- Новый метод позволяет проводить селекцию граничных условий и выделить их варианты, улучшающие качество решения задачи.



# Благодарю за внимание!

